

หลักการและทฤษฎีที่เกี่ยวข้อง

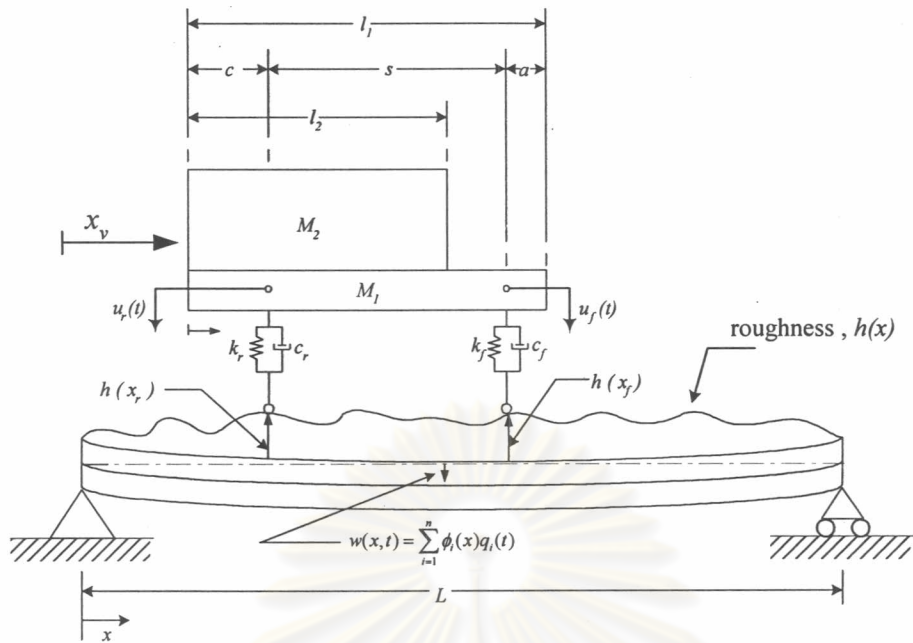
แรงที่ยานพาหนะกระทำต่อสะพานเป็นข้อมูลที่สำคัญสำหรับการออกแบบสะพาน เพราะจะนำมาใช้ในการพิจารณาหาหน้าหนักจร (live load) ที่ใช้ในมาตรฐานของการออกแบบสะพาน การวัดแรงดังกล่าวโดยตรงด้วยการใช้เครื่องมือที่ติดตั้งไว้กับรถจะเสียค่าใช้จ่ายสูงและมีความเอนเอียง (bias) ในการเก็บข้อมูล ในขณะที่ผลที่ได้จากการคำนวณจากการจำลองรูปแบบสามารถทำได้สะดวก แต่ก็มีความผิดพลาดเนื่องจากแบบจำลองที่คลาดเคลื่อน การรวมผลของตัวแปรต่างๆเข้าไปในแบบจำลองจะทำให้การคำนวณมีความยุ่งยากขึ้น ระบบต่างๆที่ได้พัฒนาขึ้นมาสำหรับ weigh-in-motion นั้นจะวัดเฉพาะน้ำหนักรถทางสถิตเท่านั้น เทคนิคที่ใช้ในการหาหน้าหนักจรจากปฏิกิริยาตอบสนองของการสั่นไหวของสะพานนั้นจึงมีความจำเป็น โดยตัวแปรต่างๆของสะพานและของรถจะถูกนำมาคิดรวมด้วยสำหรับปฏิกิริยาตอบสนองที่ถูกวัด ซึ่งค่าใช้จ่ายที่เกี่ยวข้องกับวิธีนี้จะมีค่าน้อยกว่าการวัดโดยตรง

2.1 การสร้างรูปแบบจำลองเพื่อจำลองความเครียด

2.1.1 การจำลองรูปแบบปฏิกิริยาตอบสนองซึ่งกันและกันระหว่างสะพานกับรถบรรทุก

โดยเริ่มจากการใช้แบบจำลองของสะพานกับรถบรรทุกซึ่งจะถูกนำมาพิจารณาร่วมกันเพื่อที่จะให้ปฏิกิริยาตอบสนองซึ่งกันและกันระหว่างสะพานกับรถบรรทุก มีความใกล้เคียงกับความจริงมากขึ้นความขรุขระของผิวถนนบนสะพานจึงถูกนำมาพิจารณาด้วย

ซึ่งแบบจำลองของสะพานกับรถบรรทุกนั้นได้แสดงในรูปที่ 2.1 โดยสะพานจะถูกจำลองรูปแบบเป็น 2 มิติ โดยมีจุดรองรับเป็นแบบธรรมดา และมี n องศาความอิสระ (degree of freedom) คือ โหมดเนื่องจากการดัด (bending mode) จำนวน n โหมด ผลของความหน่วง (damping) จะถูกรวมเข้าไปในการวิเคราะห์ด้วย โดยจะคิดเป็นความหน่วงเชิงเส้นในรูปแบบโหมด (linear modal damping) L คือ ความยาวของสะพาน การสั่นไหวของสะพานสามารถเขียนได้เป็น $w(x,t)$ ซึ่งถูกสมมติให้เป็นผลรวมของโหมดของการสั่นไหว n โหมด



รูปที่ 2.1 รูปแบบจำลองระหว่างสะพานกับรถบรรทุก

$$w(x,t) = \sum_{i=1}^n \phi_i(x) q_i(t) \quad i = 1, 2, \dots, n \quad (2.1)$$

โดยที่

$$\phi_i(x) = \sin\left(\frac{n\pi x}{L}\right) \quad n = 1, 2, \dots, n \quad (2.2)$$

ส่วนรถบรรทุกจะพิจารณารูปแบบให้อยู่ในระนาบ โดยมี 2 องศาความอิสระ (degree of freedom) ซึ่งลักษณะแบบจำลองของรถบรรทุก สามารถแสดงได้ดังรูปที่ 2.1 โดยที่เพลาคู่หลังของรถบรรทุกจะถูกสมมติให้เสมือนเป็นเพลาดียว ระบบการสั่นไหวของเพลารถสามารถแทนได้ด้วยชุดของความหน่วงและสปริง โดยมีสมมติฐานว่าพฤติกรรมอยู่ในช่วงอีลาสติกเชิงเส้น ดังนั้นค่าสตีเฟนของสปริงจึงสมมติให้เป็นค่าคงที่

การจำลองรูปแบบมวลของรถบรรทุก จะแบ่งเป็น 2 ส่วนคือ ส่วนที่เป็นมวลของรถและส่วนที่เป็นมวลของการบรรทุกสิ่งของ มวลของรถจะแทนด้วย M_1 และมวลส่วนที่บรรทุกสิ่งของจะแทนด้วย M_2 จากรูปที่ 2.1 จะแสดงระยะต่าง ๆ ของตัวรถ โดยที่ a คือ ระยะทางที่ยื่นออกไปด้านหน้า c คือ ระยะทางที่ยื่นออกไปด้านหลัง s คือ ระยะห่างระหว่างเพลาคู่ l_1 คือ ความยาวของตัวรถทั้งหมด l_2 คือ ความยาวของส่วนที่ใช้บรรทุกของ k_f และ k_r คือ สตีเฟนของสปริงที่เพลาด้านหน้าและเพลาด้านหลังตามลำดับ c_f และ c_r คือ ความหน่วงที่เพลาด้านหน้าและเพลาด้านหลังตามลำดับ

จากการจำลองรูปแบบของรถบรรทุกให้มี 2 องศาความอิสระ จะทำให้รถบรรทุกสามารถสั่นไหวได้เฉพาะในแนวตั้งเท่านั้น โดยที่องศาความอิสระแรกจะอยู่ที่ปลายด้านหน้าของตัวรถและองศาความอิสระที่สองจะอยู่ที่ปลายด้านหลังของตัวรถ

2.1.2 การสร้างสมการการเคลื่อนที่ของปฏิริยาตอบสนองซึ่งกันและกันระหว่างสะพานกับรถบรรทุก

ทฤษฎีและหลักการในการสร้างสมการการเคลื่อนที่ของปฏิริยาตอบสนองซึ่งกันและกัน ได้อ้างอิงมาจากงานวิจัยของ Polakit Phanapavudhikul, 2003 โดยสมการการเคลื่อนที่ของปฏิริยาตอบสนองซึ่งกันและกัน สามารถหาได้จากสมการของลากรานจ์ (lagrange equation) การเปลี่ยนตำแหน่งในแนวตั้งของสะพานในโหมดของการตัดจำนวน 5 โหมด จะถูกเลือกเป็นพิกัดทั่วไป (generalized coordinates) q_1, q_2, q_3, q_4 และ q_5 ขณะที่ทำการเปลี่ยนตำแหน่งสัมบูรณ์ของรถที่ตำแหน่งด้านหน้าและด้านหลัง จะกำหนดให้เป็น u_f และ u_r ตามลำดับ

ซึ่งจากการแก้สมการการเคลื่อนที่ของปฏิริยาตอบสนองซึ่งกันและกัน ก็จะสามารถหาการเปลี่ยนแปลงตำแหน่งในแนวตั้งของสะพานซึ่งเป็นพิกัดทั่วไป ในแต่ละโหมดของการตัดได้ และจะสามารถหาการสั่นไหวของสะพาน ได้จากสมการที่ 2.1

2.2 การหาค่าพิกัดการเคลื่อนที่บนสะพาน

จากหัวข้อที่แล้วจะพบว่า การหาค่าพิกัดการเคลื่อนที่บนสะพานโดยใช้วิธีเชิงโหนดนั้นไม่เหมาะสมสำหรับนำไปใช้งานจริงเท่าไรนัก เนื่องจากวิธีเชิงโหนดนี้จะต้องทราบคุณสมบัติต่างๆของรถบรรทุกที่จะหาค่าพิกัดเช่น สติฟเนส ความหน่วง เป็นต้น ตลอดจนความขรุขระและลักษณะของจุดรองรับของสะพานที่ใช้ในการทดสอบ ดังนั้นจึงได้ทำการศึกษางานวิจัยต่างๆ ในปัจจุบันที่เกี่ยวข้องกับการหาค่าพิกัดการเคลื่อนที่บนสะพานเพื่อหาแนวทางที่จะใช้ในการหาค่าพิกัด โดยงานวิจัยต่างๆ ในปัจจุบันที่เกี่ยวข้องกับการหาค่าพิกัดการเคลื่อนที่บนสะพานที่มีวิธีการหลักๆที่ใช้กันอยู่ 3 วิธีคือ

1. วิธีโดเมนของเวลา (Time Domain Method) เป็นการจำลองรูปแบบโครงสร้างและแรง ด้วยสมการอนุพันธ์อันดับที่สอง โดยที่แรงจะถูกจำลองให้เป็นฟังก์ชันที่เป็นช่วง (step functions) ในช่วงเวลาเล็กๆ สมการการเคลื่อนที่นี้อาจจะแสดงในรูปแบบของพิกัดเชิงโหนด (modal coordinate) และทำการแก้สมการในโดเมนของเวลา ซึ่งแรงจะสามารถหาได้โดยการใช้หลักของซูเปอร์โพสิชันเชิงโหนด (modal superposition principle)

2. วิธีโดเมนของความถี่และเวลา (Frequency and Time Domain Method) จะทำฟูเรียร์ทรานส์ฟอร์ม (fourier transforms) ในสมการการเคลื่อนที่ในรูปแบบของพิกัดเชิงโหนดเช่นเดียวกัน ฟูเรียร์ทรานส์ฟอร์มของปฏิริยาตอบสนองและของแรงจะถูกเชื่อมโยงอยู่ในโดเมนของความถี่ (frequency domain) และแกนพิกัดเวลา (time histories) ของแรงจะสามารถหาได้โดยตรงโดยวิธีกำลังสองน้อยที่สุด (least-squares method)

3. วิธีเชิงโหมด (Modal Approach) เป็นการหาแรงในพิกัดเชิงโหมด การเปลี่ยนตำแหน่งที่วัดได้จะถูกเปลี่ยนเป็นการเปลี่ยนตำแหน่งเชิงโหมด (modal displacement) โดยทำการสมมติฟังก์ชันประมาณ (shape function) ซึ่งความเร็วเชิงโหมด (modal velocities) และความเร่งเชิงโหมด (modal acceleration) สามารถหาได้จากการหาอนุพันธ์ของการเปลี่ยนตำแหน่งเชิงโหมด หลังจากนั้นจะหาแรงโดยทำการแก้สมการ (uncoupled equation) ใน พิกัดเชิงโหมด

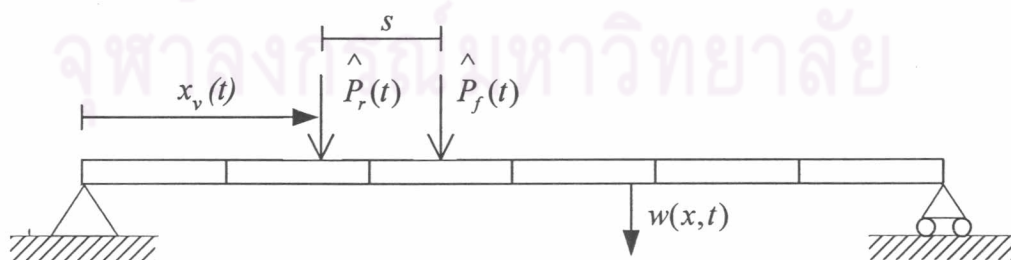
ทั้ง 3 วิธีที่กล่าวถึงนี้ต้องทำการคำนวณเกี่ยวกับอินเวอร์สของเมตริกซ์ ซึ่งจะใช้เวลาในการคำนวณนานและเกิดสภาวะบกพร่อง (ill-conditioned) ที่จุดเริ่มต้นและจุดสิ้นสุดของแกนเวลา

ในงานวิจัยครั้งนี้ได้นำเทคนิคการหาแรงที่กำลังเคลื่อนที่โดยการใช้วิธีการไดนามิกโปรแกรมมิง (dynamic programming) ซึ่งสามารถหาแรงได้ในโดเมนของเวลาจากการใช้รีเคอร์ซีฟฟอร์มูลา (recursive formula) โดยมีสมมติฐานที่ใช้ในการคำนวณดังนี้

1. การเปลี่ยนแปลงคุณสมบัติของระบบ เช่น สติฟเนส, ความหน่วง (damping) และมวล ภายใต้แรงภายนอกจะไม่นำมาพิจารณา
2. ความหน่วง (damping) ของโครงสร้างจะถูกนำมาวิเคราะห์ในการคำนวณ
3. โครงสร้างไม่จำเป็นจะต้องอยู่ในสภาวะหยุดนิ่งก่อนที่จะมีแรงภายนอกมากกระทำ
4. ไม่จำกัดประเภทของแรงที่จะหา

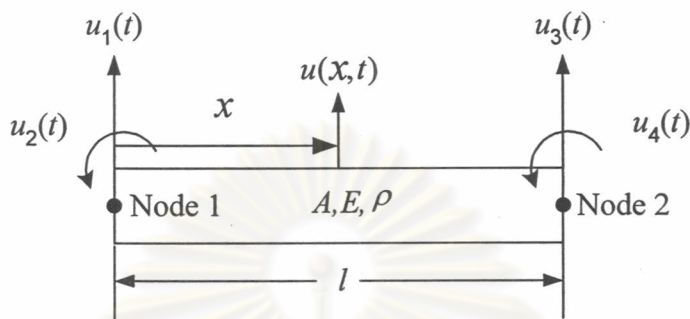
แบบจำลองที่ใช้ในการทำนายน้ำหนักครั้งนี้ได้ใช้แบบจำลองคานที่มีจุดรองรับแบบธรรมดา โดยจะไม่คิดผลของแรงพลศาสตร์ของรถบรรทุกที่กระทำกับสะพาน นั่นคือลักษณะแบบจำลองของรถบรรทุกจะเป็นแรงที่กระทำเป็นจุดสองแรงกระทำกับสะพานโดยมีระยะห่างของแรงทั้งคู่เท่ากับระยะเพลลาของรถบรรทุก ซึ่งจะทำให้การแบ่งเอลเมนต์ (element) ของสะพานโดยใช้ทฤษฎีไฟไนต์เอลเมนต์ (finite element)

2.2.1 การจำลองสะพานด้วยชิ้นส่วนคาน



รูปที่ 2.2 ลักษณะระบบของแบบจำลองคานที่ใช้ในการหาน้ำหนัก

เราจะใช้ไฟไนต์เอลิเมนต์ในการจำลองรูปแบบคาน ซึ่งแสดงดังรูปที่ 2.2 โดยที่ A คือ พื้นที่หน้าตัดของคาน E คือ ค่าโมดูลัสความยืดหยุ่นของคาน ρ คือ มวลต่อหน่วยความยาวของคาน l คือ ความยาวของชิ้นส่วนคาน ซึ่งแต่ละชิ้นส่วนของคานจะประกอบด้วย 2 ขั้ว (node) และแต่ละขั้วของชิ้นส่วนคานจะมี 2 องศาอิสระคือ การเปลี่ยนตำแหน่งในแนวตั้ง และการเปลี่ยนตำแหน่งในการหมุน



รูปที่ 2.3 แบบจำลองชิ้นส่วนของคาน

การเปลี่ยนตำแหน่งในแนวตั้งของชิ้นส่วนคานที่ระยะทาง x และเวลา t ใดๆ จะต้องสอดคล้องตามสมการ (2.3)

$$\frac{\partial^2}{\partial x^2} \left[EI \frac{\partial^2 u(x,t)}{\partial x^2} \right] = 0 \quad (2.3)$$

สำหรับในกรณี EI มีค่าคงที่ สมการ (2.3) จะกลายเป็น $\frac{\partial^4 u(x,t)}{\partial x^4} = 0$ ซึ่งสามารถอินทิเกรตได้เป็น

$$u(x,t) = c_1(t)x^3 + c_2(t)x^2 + c_3(t)x + c_4(t) \quad (2.4)$$

โดยที่ $c_i(t)$ คือ ค่าคงที่ของการอินทิเกรต

สมการ (2.4) สามารถใช้ในการประมาณค่าการเปลี่ยนแปลงตำแหน่งในแนวตั้งของชิ้นส่วนคานได้ ซึ่งมีเงื่อนไขที่ขอบ (boundary condition) ดังนี้

$$\begin{aligned} u(0,t) &= u_1(t) & u(l,t) &= u_3(t) \\ \frac{\partial u(0,t)}{\partial x} &= u_2(t) & \frac{\partial u(l,t)}{\partial x} &= u_4(t) \end{aligned} \quad (2.5)$$

จากความสัมพันธ์ข้างต้น เมื่อแทนลงในสมการ (2.4) จะสามารถหาค่าคงที่ของการอินทิเกรตได้ คือ

$$c_4(t) = u_1(t)$$

$$c_3(t) = u_2(t)$$

$$c_2(t) = \frac{1}{l^2} [3(u_3 - u_1) - l(2u_2 + u_4)]$$

$$c_1(t) = \frac{1}{l^3} [2(u_1 - u_3) - l(u_2 + u_4)] \quad (2.6)$$

แทนสมการ (2.6) ลงในสมการ (2.4) และทำการจัดรูปแบบของสมการใหม่ให้อยู่ในเทอมของการเปลี่ยนตำแหน่งเชิงขั้ว (nodal displacement) จะได้สมการการเปลี่ยนตำแหน่งของชิ้นส่วนคานาที่ระยะ x และเวลา t ใดๆ ดังนี้

$$\begin{aligned} u(x,t) = & \left[1 - \frac{3x^2}{l^2} + \frac{2x^3}{l^3} \right] u_1(t) + l \left[\frac{x}{l} - \frac{2x^2}{l^2} + \frac{x^3}{l^3} \right] u_2(t) \\ & + \left[\frac{3x^2}{l^2} - \frac{2x^3}{l^3} \right] u_3(t) + l \left[-\frac{x^2}{l^2} + \frac{x^3}{l^3} \right] u_4(t) \end{aligned} \quad (2.7)$$

โดยที่สัมประสิทธิ์ที่อยู่ข้างหน้า $u_i(t)$ คือฟังก์ชันประมาณ (shape function) ของการเปลี่ยนตำแหน่งของชิ้นส่วนคานา

เมตริกซ์มวล (mass matrix) ของชิ้นส่วนคานาสามารถคำนวณได้จากการแทนสมการ (2.7) ลงไปในสมการของพลังงานจลน์

$$T(t) = \frac{1}{2} \int_0^l \rho A \left[\frac{\partial u(x,t)}{\partial t} \right]^2 dx \quad (2.8)$$

และสมการ (2.8) สามารถเขียนให้อยู่ในอีกรูปแบบหนึ่งได้ คือ

$$T(t) = \frac{1}{2} \dot{\mathbf{u}}^T \mathbf{M} \dot{\mathbf{u}} \quad (2.9)$$

โดยที่ \mathbf{M} คือ เมตริกซ์มวล (mass matrix) และเวกเตอร์ $\dot{\mathbf{u}}$ คืออนุพันธ์ของเวกเตอร์ $\mathbf{u}(t)$ เทียบกับเวลาซึ่งเวกเตอร์ $\mathbf{u}(t)$ สามารถกำหนดได้ดังนี้

$$\mathbf{u}(t) = \begin{bmatrix} u_1(t) \\ u_2(t) \\ u_3(t) \\ u_4(t) \end{bmatrix} \quad (2.10)$$

หลังจากทำการอินทิเกรตและจัดรูปแบบเวกเตอร์ของการเปลี่ยนตำแหน่งที่ข้อ (nodal displacement) จะได้เมตริกซ์มวลสำหรับชิ้นส่วนคานาดังนี้

$$\mathbf{M} = \frac{\rho A l}{420} \begin{bmatrix} 156 & 22l & 54 & -13l \\ 22l & 4l^2 & 13l & -3l^2 \\ 54 & 13l & 156 & -22l \\ -13l & -3l^2 & -22l & 4l^2 \end{bmatrix} \quad (2.11)$$

ในทำนองเดียวกัน เราสามารถหาเมตริกซ์สติฟเนส (stiffness matrix) ได้จากการแทนสมการ (2.7) ลงในสมการพลังงานความเครียด (strain energy) ซึ่งกำหนดโดย

$$V(t) = \frac{1}{2} \int_0^l EI \left[\frac{\partial^2 u(x,t)}{\partial x^2} \right]^2 dx \quad (2.12)$$

ซึ่งสามารถจัดให้อยู่ในรูปแบบ

$$V(t) = \frac{1}{2} \mathbf{u}^T \mathbf{K} \mathbf{u} \quad (2.13)$$

โดยที่ \mathbf{u} ได้กำหนดไว้ข้างต้น ดังนั้นเมตริกซ์สติฟเนสของชิ้นส่วนคานาคือ

$$\mathbf{K} = \frac{EI}{l^3} \begin{bmatrix} 12 & 6l & -12 & 6l \\ 6l & 4l^2 & -6l & 2l^2 \\ -12 & -6l & 12 & -6l \\ 6l & 2l^2 & -6l & 4l^2 \end{bmatrix} \quad (2.14)$$

เมื่อเราได้เมตริกซ์มวลและเมตริกซ์สติฟเนสของแต่ละชิ้นส่วนคานแล้ว เราจะรวม (assembly) ชิ้นส่วนคานแต่ละชิ้นส่วนเข้าด้วยกันตามองศาความอิสระที่ตรงกัน ซึ่งจะได้เมตริกซ์มวลและเมตริกซ์สติฟเนสของระบบ

2.2.2 การหาเมตริกซ์ความหน่วง (damping matrix) ของระบบ

พิจารณาสมการการเคลื่อนที่อิสระ

$$\mathbf{M}\ddot{\mathbf{u}} + \mathbf{C}\dot{\mathbf{u}} + \mathbf{K}\mathbf{u} = 0 \quad (2.15)$$

เมื่อเรานำ \mathbf{M}^{-1} คูณตลอดสมการ (2.15) จะได้

$$\ddot{\mathbf{u}} + \bar{\mathbf{C}}\dot{\mathbf{u}} + \bar{\mathbf{K}}\mathbf{u} = 0 \quad (2.16)$$

โดยที่ $\bar{\mathbf{C}} = \mathbf{M}^{-1}\mathbf{C}$

$$\bar{\mathbf{K}} = \mathbf{M}^{-1}\mathbf{K}$$

กำหนดให้

$$\mathbf{u} = \mathbf{V}\mathbf{q} \quad (2.17)$$

โดยที่ \mathbf{V} คือ ไอเจนเวกเตอร์ (eigenvector) ของเมตริกซ์ $\bar{\mathbf{K}}$

แทนสมการ (2.17) ลงใน (2.16) และคูณตลอดด้วย \mathbf{V}^{-1} จะได้

$$\mathbf{I}\ddot{\mathbf{q}} + \mathbf{V}^{-1}\bar{\mathbf{C}}\mathbf{V}\dot{\mathbf{q}} + \mathbf{V}^{-1}\bar{\mathbf{K}}\mathbf{V}\mathbf{q} = 0 \quad (2.18)$$

$$\mathbf{I}\ddot{\mathbf{q}} + \mathbf{C}^*\dot{\mathbf{q}} + \mathbf{K}^*\mathbf{q} = 0 \quad (2.19)$$

โดยที่

$$\mathbf{K}^* = \mathbf{V}^{-1}\bar{\mathbf{K}}\mathbf{V}$$

$$= \begin{bmatrix} \omega_1^2 & 0 & \cdots & 0 \\ 0 & \omega_2^2 & \ddots & \vdots \\ \vdots & \ddots & \ddots & 0 \\ 0 & \cdots & 0 & \omega_n^2 \end{bmatrix} \quad (2.20)$$

ซึ่งหากสมมติให้มีคุณสมบัติ orthogonality เช่นเดียวกับ \mathbf{K}^* จะได้

$$\mathbf{C}^* = \mathbf{V}^{-1}\bar{\mathbf{C}}\mathbf{V}$$

$$= \begin{bmatrix} 2\xi_1\omega_1 & 0 & \dots & 0 \\ 0 & 2\xi_2\omega_2 & \ddots & \vdots \\ \vdots & \ddots & \ddots & 0 \\ 0 & \dots & 0 & 2\xi_n\omega_n \end{bmatrix} \quad (2.21)$$

ξ_i คือ สัดส่วนความหน่วง (damping ratio) ของโหมดที่ i

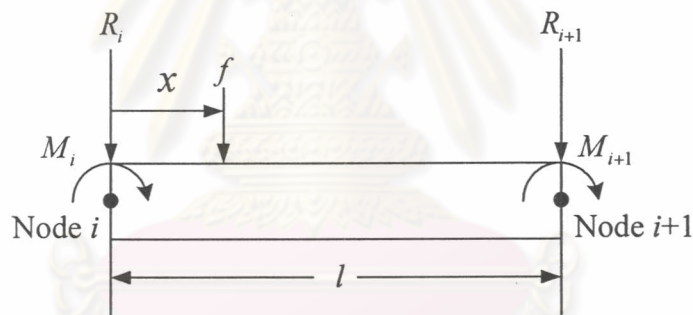
ω_i คือ ความถี่ธรรมชาติ (natural frequency) ของโหมดที่ i

เมื่อเราทราบค่า ξ_i และ ω_i แล้ว ก็จะสามารถหาเมตริกซ์ \bar{C} และ C^* ได้ ดังนี้

$$\bar{C} = VC^*V^{-1} \quad (2.22)$$

$$C = M\bar{C} \quad (2.23)$$

2.2.3 การหาแรงที่ข้อต่อจากแรงภายนอกที่มากกระทำ



รูปที่ 2.4 แรงที่ข้อต่อเนื่องจากแรงภายนอกที่มากกระทำ

เมื่อมีแรงภายนอก f มากกระทำบนชิ้นส่วนคาน 2 มิติ ที่มีความยาวเท่ากับ l ระหว่างข้อที่ i กับข้อที่ $i+1$ ที่ระยะ x จากปลายซ้าย แรงที่ข้อต่อแต่ละปลายของชิ้นส่วนคานสามารถแสดงได้ดังนี้

$$R_i = \left(1 - \frac{3x^2}{l^2} + \frac{2x^3}{l^3} \right) f$$

$$M_i = \left(x - \frac{2x^2}{l} + \frac{x^3}{l} \right) f$$

$$R_{i+1} = \left(\frac{3x^2}{l^2} - \frac{2x^3}{l^3} \right) f$$

$$M_{i+1} = \left(\frac{x^3}{l^2} - \frac{x^2}{l} \right) f \quad (2.24)$$

โดยที่ R_i, R_{i+1} คือ แรงที่ข้อในแนวดิ่ง ของข้อที่ i และ $i+1$ ของโครงสร้างตามลำดับ

M_i, M_{i+1} คือ โมเมนต์ดัด ของข้อที่ i และ $i+1$ ของโครงสร้างตามลำดับ

แรงที่ข้อดังกล่าวสามารถจัดให้อยู่ในรูปเวกเตอร์ของแรงโกลบอล (global force vector) ได้ คือ

$$\mathbf{P} = \mathbf{Y}(x) \cdot \mathbf{f}_1 \quad (2.25)$$

โดยที่ \mathbf{P} คือ เวกเตอร์ของแรงที่ข้อ (nodal force vector)

$\mathbf{Y}(x)$ คือ เวกเตอร์ที่แปลงแรงกระทำภายนอกสู่ระบบแรงที่ข้อ

สำหรับกรณีของแรงภายนอกหลายแรงที่กระทำบนชิ้นส่วนคานเวกเตอร์ของแรงโกลบอล (global force vector) ที่เกิดขึ้นจากแรงที่ i สามารถเขียนได้เป็น

$$\mathbf{P}_i = \mathbf{Y}(x_i) \cdot \mathbf{f}_i \quad (2.26)$$

2.2.4 การสร้างสมการการเคลื่อนที่ของสะพานภายใต้แรงซึ่งเคลื่อนที่บนสะพาน

ซึ่งในกรณีแบบจำลองที่ใช้ในการทดสอบครั้งนี้ ลักษณะแบบจำลองของรถบรรทุกจะเป็นแรงที่กระทำเป็นจุดสองแรงกระทำกับสะพานโดยมีระยะห่างของแรงทั้งคู่เท่ากับกับระยะเพลลาของรถบรรทุก ดังแสดงในรูปที่ 2.2 ดังนั้นไฟไนต์เอลิเมนต์ของระบบพลศาสตร์ที่มี n องศาของความอิสระ จะเขียนได้ดังนี้

$$\mathbf{M}\ddot{\mathbf{u}}(t) + \mathbf{C}\dot{\mathbf{u}}(t) + \mathbf{K}\mathbf{u}(t) = \mathbf{P}(t) \quad (2.27)$$

โดยที่ $\mathbf{u}(t)$ คือ เวกเตอร์การเปลี่ยนตำแหน่งของแบบจำลอง

$\dot{\mathbf{u}}(t)$ คือ อนุพันธ์อันดับหนึ่งของ $\mathbf{u}(t)$ เทียบกับเวลา t

\mathbf{M} คือ เมตริกซ์มวลของระบบ (system mass matrix)

\mathbf{C} คือ เมตริกซ์ความหน่วงของระบบ (system damping matrix)

\mathbf{K} คือ เมตริกซ์สติฟเนสของระบบ (system stiffness matrix)

$\mathbf{P}(t)$ คือ แรงซึ่งเป็นฟังก์ชันของตำแหน่งและขนาดของแรงภายนอกที่มากกระทำ

เช่นลักษณะของค่าของ $\mathbf{P}(t)$ ที่ใช้ในแบบจำลองดังแสดงในรูปที่ 2.2 จะเป็นแรงซึ่งเป็นฟังก์ชันของตำแหน่งและขนาดของแรงภายนอกที่มากกระทำดังสมการ (2.26) ซึ่งประกอบเวกเตอร์ที่แปลงแรงกระทำภายนอกสู่ระบบแรงที่ชั่วครู่กับเวกเตอร์ของแรงที่ชั่วครู่ซึ่งประกอบด้วยน้ำหนักเพลาน้ำและเพลาลังดังสมการ (2.28)

$$\mathbf{P}(t) = \left[\mathbf{Y}(x_v(t) + s) \quad \mathbf{Y}(x_v(t)) \right] \begin{Bmatrix} \hat{P}_f(t) \\ \hat{P}_r(t) \end{Bmatrix} \quad (2.28)$$

$\mathbf{Y}(x_v(t) + s)$	คือ	เวกเตอร์ที่แปลงน้ำหนักเพลาน้ำสู่ระบบแรงที่ชั่ว
$\mathbf{Y}(x_v(t))$	คือ	เวกเตอร์ที่แปลงน้ำหนักเพลาลังสู่ระบบแรงที่ชั่ว
$\hat{P}_f(t)$	คือ	น้ำหนักเพลาน้ำที่กระทำกับแบบจำลอง
$\hat{P}_r(t)$	คือ	น้ำหนักเพลาลังที่กระทำกับแบบจำลอง

การใช้สมการสเตตสเปซ (state-space formulation) สมการ (2.27) จะถูกเปลี่ยนให้อยู่ในรูปของสมการอนุพันธ์อันดับหนึ่งดังแสดง

$$\dot{\mathbf{X}} = \mathbf{A}\mathbf{X} + \mathbf{B}\mathbf{f} \quad (2.29)$$

โดยที่

$$\mathbf{X} = \begin{bmatrix} \mathbf{u} \\ \dot{\mathbf{u}} \end{bmatrix}_{2n \times 1} \quad \mathbf{A} = \begin{bmatrix} \mathbf{0} & \mathbf{I} \\ -\mathbf{M}^{-1}\mathbf{K} & -\mathbf{M}^{-1}\mathbf{C} \end{bmatrix}_{2n \times 2n}$$

$$\mathbf{B} = \begin{bmatrix} \mathbf{0} \\ -\mathbf{M}^{-1}\mathbf{Y} \end{bmatrix}_{2n \times n_f} \quad (2.30)$$

โดยที่ \mathbf{X} คือ เวกเตอร์ของตัวแปร (state variables) ที่มีมิติเท่ากับ $2n$ ซึ่งประกอบด้วยค่าเปลี่ยนตำแหน่งที่ชั่วและความเร็วที่ชั่ว

n_f คือ จำนวนของแรงภายนอกที่มากกระทำ

\mathbf{f} คือ แรงภายนอกที่ไม่ทราบค่ามีมิติเท่ากับ $n_f \times 1$

สมการอนุพันธ์ข้างต้นสามารถเขียนใหม่ให้อยู่ในรูปแบบของสมการไม่ต่อเนื่อง (discrete equation) โดยการใช้ เอกซ์โพเนนเชียลเมตริกซ์ (exponential matrix) เข้ามาเกี่ยวข้อง จะได้

$$\mathbf{X}_{j+1} = \mathbf{F}\mathbf{X}_j + \bar{\mathbf{G}}_{j+1}\mathbf{B}_j\mathbf{f}_j \quad (2.31)$$

$$\mathbf{F} = \mathbf{e}^{\mathbf{A}h} \quad (2.32)$$

$$\bar{\mathbf{G}} = \mathbf{A}^{-1}(\mathbf{F} - \mathbf{I}) \quad (2.33)$$

- โดยที่ \mathbf{F} คือ เอกซ์โพเนนเชียลเมตริกซ์ (exponential matrix)
 $\bar{\mathbf{G}}$ คือ เมตริกซ์ที่เชื่อมโยงระหว่างแรงกับระบบ
 $j+1$ หมายถึง การคำนวณ ณ ชั้นเวลาที่ $j+1$
 h คือ ผลต่างของเวลาในการคำนวณตัวแปร (variable state) ระหว่าง \mathbf{X}_j และ \mathbf{X}_{j+1}

จากการแทนสมการ (2.30) และ (2.33) ลงไปในสมการ (2.30) จะได้

$$\mathbf{X}_{j+1} = \mathbf{F}\mathbf{X}_j + \mathbf{G}_{j+1}\mathbf{f}_j \quad (2.34)$$

โดยที่

$$\mathbf{G} = \bar{\mathbf{G}}_{2n \times 2n} \begin{bmatrix} 0 \\ -\mathbf{M}^{-1}\mathbf{Y} \end{bmatrix}_{2n \times n_f} \quad (2.35)$$

2.2.5 วิธีการหาทรานซ์ฟันด์เมตริกซ์ (\mathbf{F})

จาก

$$\mathbf{e}^{A h} = \mathbf{I} + h\mathbf{A} + \frac{h^2}{2!}\mathbf{A}^2 + \frac{h^3}{3!}\mathbf{A}^3 + \dots \quad (2.36)$$

และ

$$\mathbf{A} = \mathbf{V}\mathbf{\Lambda}\mathbf{V}^{-1} \quad (2.37)$$

- โดยที่ $\mathbf{\Lambda}$ คือ เมตริกซ์ไอเกนแวลู (eigenvalue) ของเมตริกซ์ \mathbf{A}
 \mathbf{V} คือ เมตริกซ์ไอเกนเวกเตอร์ (eigenvector) ของเมตริกซ์ \mathbf{A}

แทนสมการ (2.37) ลงใน (2.36) จะได้

$$\begin{aligned} \mathbf{e}^{A h} &= \mathbf{V}\mathbf{V}^{-1} + h\mathbf{V}\mathbf{\Lambda}\mathbf{V}^{-1} + \frac{h^2}{2!}\mathbf{V}\mathbf{\Lambda}\mathbf{V}^{-1}\mathbf{V}\mathbf{\Lambda}\mathbf{V}^{-1} \\ &\quad + \frac{h^3}{3!}\mathbf{V}\mathbf{\Lambda}\mathbf{V}^{-1}\mathbf{V}\mathbf{\Lambda}\mathbf{V}^{-1}\mathbf{V}\mathbf{\Lambda}\mathbf{V}^{-1} + \dots \\ &= \mathbf{V}\mathbf{V}^{-1} + h\mathbf{V}\mathbf{\Lambda}\mathbf{V}^{-1} + \frac{h^2}{2!}\mathbf{V}\mathbf{\Lambda}^2\mathbf{V}^{-1} + \frac{h^3}{3!}\mathbf{V}\mathbf{\Lambda}^3\mathbf{V}^{-1} + \dots \quad (2.38) \\ &= \mathbf{V}\left(\mathbf{I} + h\mathbf{\Lambda} + \frac{h^2}{2!}\mathbf{\Lambda}^2 + \frac{h^3}{3!}\mathbf{\Lambda}^3 + \dots\right)\mathbf{V}^{-1} \\ &= \mathbf{V}\mathbf{e}^{\mathbf{\Lambda} h}\mathbf{V}^{-1} \end{aligned}$$

2.2.6 หลักการหาน้ำหนักกรณีเคลื่อนที่บนสะพาน

จุดประสงค์ของปัญหานี้คือ การหาแรง \mathbf{f} ซึ่งทำให้สมการ (2.34) มีความใกล้เคียงกับข้อมูลที่วัดมาได้มากที่สุด แต่ในทางปฏิบัติเราไม่สามารถที่จะวัดการเปลี่ยนตำแหน่งและความเร็วได้ทั้งหมด ซึ่งจะมีแค่บางตำแหน่งเท่านั้นที่เราสามารถวัดได้ ดังนั้นข้อมูลที่ได้จากการวัดสามารถแสดงได้ดังสมการ

$$\mathbf{d}_j = \mathbf{Q}\mathbf{X}_j \quad (2.39)$$

- โดยที่ \mathbf{d}_j คือ เวกเตอร์ของการวัดมีมิติ $m \times 1$
 \mathbf{Q} คือ เมตริกซ์ที่ถูกเลือกเพื่อเชื่อมโยงระหว่างการวัดกับตัวแปร (state variables) มีมิติ $m \times 2n$
 \mathbf{X}_j คือ เวกเตอร์ของตัวแปร (state variables) ที่มีมิติเท่ากับ $2n$ ซึ่งประกอบด้วย การเปลี่ยนตำแหน่งที่ชั่วและความเร็วที่ชั่ว

ข้อมูลจากการวัดจริงจะแทนได้ด้วยเวกเตอร์ \mathbf{Z}_j ซึ่งมีมิติเดียวกับ \mathbf{d}_j โดยทั่วไปจำนวนของข้อมูลที่วัดได้ m จะน้อยกว่าจำนวนของตัวแปร (หรือ n องศาอิสระของระบบ) มาก แต่จะต้องมากกว่าหรือเท่ากับจำนวนของแรงภายนอกที่มากกระทำ n_f ในกรณีของ คาน 2 มิติ ที่มีจุดรองรับแบบธรรมดา ซึ่งถูกแบ่งเป็น L อิลิเมนต์จะได้ $n = 2(L + 1) - 2$ ซึ่งได้รวมการเปลี่ยนตำแหน่งในแนวตั้งและการเปลี่ยนตำแหน่งในการหมุนที่แต่ละชั่วไว้แล้ว

เมื่อแรงที่ไม่ทราบค่า \mathbf{f}_j ได้รวมอยู่ในสมการ (2.34) การที่ข้อมูลจากแบบจำลองจะเหมือนกับข้อมูลจากการวัดจึงเป็นไปได้ ทั้งนี้เนื่องจากข้อมูลที่ได้จากการวัดจะมีสิ่งรบกวนรวมอยู่ด้วย จึงทำการหาค่าแรงจากวิธีการยกกำลังสองน้อยที่สุด (least square) ที่จะทำให้ค่าความคลาดเคลื่อน E ดังสมการ (2.40) มีค่าน้อยที่สุด

$$E = \sum_{j=1}^N ((\mathbf{Z}_j - \mathbf{Q}\mathbf{X}_j), \mathbf{D}(\mathbf{Z}_j - \mathbf{Q}\mathbf{X}_j)) \quad (2.40)$$

แต่เนื่องจากมีสภาพบกพร่อง (ill condition) ของระบบในการหาค่าตอบ ณ ตำแหน่งจุดเริ่มต้น และจุดสุดท้ายของข้อมูล เราสามารถที่จะหลีกเลี่ยงได้โดยการเพิ่มเทอมความราบเรียบ (smoothing term) เข้าไปในสมการ (2.40) ดังแสดง

$$E = \sum_{j=1}^N ((\mathbf{Z}_j - \mathbf{Q}\mathbf{X}_j), \mathbf{D}(\mathbf{Z}_j - \mathbf{Q}\mathbf{X}_j) + (\mathbf{f}_j, \mathbf{E}\mathbf{f}_j)) \quad (2.41)$$

เทอมที่สองคือ regularization parameter และวิธีการดังกล่าวนี้เรียกว่า Tikhonov method เมตริกซ์ $\mathbf{D}(m \times m)$ และเมตริกซ์ $\mathbf{E}(n_f \times n_f)$ เป็นเมตริกซ์โพสิทีฟดีเฟนิทที่มีความสมมาตร (symmetric positive-definite weighting matrices) ซึ่งให้ความยืดหยุ่นในการถ่วงน้ำหนักของการวัดและการถ่วงน้ำหนักของแรง เมตริกซ์ \mathbf{D} โดยทั่วไปจะเป็นเมตริกซ์เอกลักษณ์ (identity matrix) และ เมตริกซ์ \mathbf{E} เป็นเมตริกซ์ทแยง (diagonal matrix) โดยเทอมที่สองค่า \mathbf{E} จะมีผลของความราบเรียบของแรงที่หามาได้ โดยถ้า \mathbf{E} มีค่ามาก แรงที่หาได้จะมีความราบเรียบแต่จะไม่ใกล้เคียงกับข้อมูล เมื่อ \mathbf{E} มีค่าเท่ากับศูนย์ การแก้ปัญหาจะกลายเป็นปัญหายกกำลังสองน้อยที่สุด (least square) แบบธรรมดา และเมื่อ \mathbf{E} มีค่าน้อย จะทำให้คำตอบมีความใกล้เคียงกับข้อมูลมากแต่มีความแปรปรวนสูง

2.2.7 การวัดความเครียด

สำหรับไฟไนต์เอลิเมนต์ของคาน 2 มิติ ที่ยาว l โดยมีองศาความอิสระ $(u_1, \theta_1, u_2, \theta_2)$ ที่ปลายทั้งสองข้าง จะได้ว่าความเครียดที่หน้าตัดใด ๆ ระยะเวลาทาง x จากปลายซ้ายของชิ้นส่วนคานสามารถเขียนให้อยู่ในรูปขององศาความอิสระที่ปลายทั้งสองข้างได้ดังนี้

$$\varepsilon_x = \left(\frac{-\delta}{l^3} \right) [(12x - 6l)u_1 - l(6x - 4l)\theta_1 - (12x - 6l)u_2 + l(6x - 2l)\theta_2] \quad (2.42)$$

โดยที่ δ คือ ระยะจากแนวแกนสะเทินของคานถึงขอบของคาน

2.2.8 การหาแรงโดยตรงจากการแก้ระบบสมการ

ปัญหาในการวิเคราะห์ระบบสมการในการหาแรงนั้น จากเดิมที่สามารถนำข้อมูลที่ได้จากการวัด มาแสดงให้อยู่ในรูปของสมการที่ 2.36 สามารถแปลงความเครียดที่ได้จากการวัดจากความสัมพันธ์ของความเค้นและความเครียด

$$\sigma = E\varepsilon = \frac{\mathbf{M}\delta}{I} \quad (2.43)$$

เมื่อ	δ	คือระยะความลึกของแนวแกนสะเทินของหน้าตัดสะพาน
	I	คือโมเมนต์ความเฉื่อย (Moment of Inertia) ของหน้าตัดสะพาน
	E	คืออีลาสติกโมดูลัสของสะพาน

ดังนั้นจะสามารถเขียนโมเมนต์ตัดในเทอมของความเครียดได้เป็น

$$\mathbf{M} = \frac{\varepsilon EI}{\delta} \quad (2.44)$$

เมื่อแทนความเครียดที่ได้จากการวัดจริงด้วยเวกเตอร์ \mathbf{Z} จะสามารถเขียนใหม่ได้เป็น

$$\mathbf{M} = \mathbf{Z} \left(\frac{EI}{\delta} \right) \quad (2.45)$$

2.2.9 ไดนามิกโปรแกรมมิ่ง (Dynamic Programming)

เพื่อที่จะทำให้ค่าความคลาดเคลื่อน E ของวิธียกกำลังสองน้อยที่สุด (least square) มีค่าน้อยที่สุด วิธีการไดนามิกโปรแกรมมิ่ง (dynamic programming) และ Bellman's Principle of Optimality (Bellman R., 1967) ได้ถูกนำมาใช้หาค่า E ที่น้อยที่สุดที่ขั้นตอน n (E_n) สำหรับค่าเริ่มต้น \mathbf{X} สามารถเขียนได้เป็น

$$\mathbf{g}_n(\mathbf{X}) = \min_{\mathbf{f}_j} E_n(\mathbf{X}, \mathbf{f}_j) \quad (2.46)$$

จากสมการ (2.42) โดยวิธี Bellman's Principle of Optimality จะสามารถพิสูจน์ได้ดังนี้

$$\mathbf{g}_{n-1}(\mathbf{X}) = \min_{\mathbf{f}_{n-1}} \left((\mathbf{Z}_{n-1} - \mathbf{Q}\mathbf{X}), \mathbf{D}(\mathbf{Z}_{n-1} - \mathbf{Q}\mathbf{X}) + (\mathbf{f}_{n-1}, \mathbf{E}\mathbf{f}_{n-1}) + \mathbf{g}_n(\mathbf{F}\mathbf{X} + \mathbf{G}_n\mathbf{f}_{n-1}) \right) \quad (2.47)$$

\mathbf{f}_n และ \mathbf{g}_n คือ ค่าแรงที่เหมาะสม (optimal forcing term) และค่าต้นทุนที่เหมาะสม (optimal cost term) ตามลำดับ การแก้ปัญหาสามารถทำได้โดยการเริ่มต้นขั้นตอนที่ $n = N$ และทำย้อนกลับไปจนถึง $n = 1$ ที่จุดปลาย ค่าที่น้อยที่สุดสามารถหาได้จาก

$$\mathbf{g}_N(\mathbf{X}) = \min_{\mathbf{f}_N} \left[(\mathbf{Z}_N - \mathbf{Q}\mathbf{X}), \mathbf{D}(\mathbf{Z}_N - \mathbf{Q}\mathbf{X}) + (\mathbf{f}_N, \mathbf{E}\mathbf{f}_N) \right] \quad (2.48)$$

เมื่อ $\mathbf{f}_N = 0$ เราจะได้คำตอบที่มีค่าน้อยที่สุดดังสมการ (2.49) โดยการขยายสมการ (2.48)

$$\mathbf{g}_N(\mathbf{X}) = \mathbf{q}_N + (\mathbf{X}, \mathbf{S}_N) + (\mathbf{X}, \mathbf{R}_N \mathbf{X}) \quad (2.49)$$

โดยที่

$$\mathbf{q}_N = \mathbf{Z}_N^T \mathbf{D} \mathbf{Z}_N$$

$$\mathbf{S}_N = -2\mathbf{Q}_N^T \mathbf{D} \mathbf{Z}_N$$

$$\mathbf{R}_N = \mathbf{Q}_N^T \mathbf{D} \mathbf{Q}_N \quad (2.50)$$

สมการ (2.50) คือค่าเริ่มต้นสำหรับการทำงานย้อนกลับที่ $n=N$ โดยการแทนสมการ (2.49) ด้วยขั้นตอนที่ n และ $n-1$ ลงไปในสมการ (2.52) และขยายเทอมทางด้านขวามือของสมการจะได้

$$\mathbf{q}_{n-1} + (\mathbf{X}, \mathbf{S}_{n-1}) + (\mathbf{X}, \mathbf{R}_{n-1} \mathbf{X}) = \min_{\mathbf{f}_{n-1}} [(\mathbf{f}_{n-1} + \mathbf{V}_n \mathbf{X} + \mathbf{U}_n), \mathbf{H}_n (\mathbf{f}_{n-1} + \mathbf{V}_n \mathbf{X} + \mathbf{U}_n) + \mathbf{r}_{n-1}(\mathbf{X})]$$

โดยที่ $\mathbf{H}_n = \mathbf{E} + \mathbf{G}_n^T \mathbf{R}_n \mathbf{G}_n$, $2\mathbf{H}_n \mathbf{V}_n = 2\mathbf{G}_n^T \mathbf{R}_n \mathbf{F}$, $\mathbf{V}_n = \mathbf{H}_n^{-1} \mathbf{G}_n^T \mathbf{R}_n \mathbf{F}$

$$2\mathbf{H}_n \mathbf{U}_n = \mathbf{G}_n^T \mathbf{S}_n, \quad \mathbf{U}_n = (\mathbf{H}_n^{-1} \mathbf{G}_n^T \mathbf{S}_n) / 2 \quad (2.51)$$

$$\begin{aligned} \mathbf{r}_{n-1}(\mathbf{x}) = & (\mathbf{q}_n + \mathbf{Z}_{n-1}^T \mathbf{D} \mathbf{Z}_{n-1}) + \mathbf{X}^T (\mathbf{Q}^T \mathbf{D} \mathbf{Q} + \mathbf{F}^T \mathbf{R}_n \mathbf{F}) \mathbf{X} + \mathbf{X}^T (\mathbf{F}^T \mathbf{S}_n - 2\mathbf{Q}^T \mathbf{D} \mathbf{Z}_{n-1}) \\ & - \mathbf{X}^T \mathbf{V}_n^T \mathbf{H}_n \mathbf{V}_n \mathbf{X} - \mathbf{U}_n^T \mathbf{H}_n \mathbf{U}_n - 2\mathbf{X}^T \mathbf{V}_n^T \mathbf{H}_n \mathbf{U}_n \end{aligned}$$

และ \mathbf{F} คือ เอกซ์โพเนนเชียลเมตริกซ์ (exponential matrix)

การทำให้เทอมทางด้านขวามือของสมการ (2.51) มีค่าน้อยที่สุด จะนำไปสู่ค่าแรงที่เหมาะสม คือ

$$\mathbf{f}_{n-1} = -\mathbf{H}_n^{-1} \mathbf{G}_n^T \left[\mathbf{R}_n \mathbf{F} \mathbf{X}_{n-1} + \frac{\mathbf{S}_n}{2} \right] \quad (2.52)$$

และสมการ (2.51) จะกลายเป็น

$$\mathbf{q}_{n-1} + (\mathbf{X}, \mathbf{S}_{n-1}) + (\mathbf{X}, \mathbf{R}_{n-1} \mathbf{X}) = \mathbf{r}_{n-1}(\mathbf{X}) \quad (2.53)$$

จากการกระจายเทอมในสมการ (2.53) และทำการเทียบสัมประสิทธิ์จะได้

$$\mathbf{R}_{n-1} = \mathbf{Q}^T \mathbf{D} \mathbf{Q} + \mathbf{F}^T [\mathbf{I} - \mathbf{R}_n^T \mathbf{G}_n \mathbf{H}_n^{-1} \mathbf{G}_n^T] \mathbf{R}_n \mathbf{F}$$

$$\mathbf{S}_{n-1} = -2\mathbf{Q}^T \mathbf{D} \mathbf{Z}_{n-1} + \mathbf{F}^T [\mathbf{I} - \mathbf{R}_n^T \mathbf{G}_n \mathbf{H}_n^{-1} \mathbf{G}_n^T] \mathbf{S}_n \quad (2.54)$$

ความคลาดเคลื่อนของแรงที่หาได้สามารถคำนวณได้ตามสมการ

$$Error = \frac{\|\mathbf{f}_{identified} - \mathbf{f}_{true}\|}{\|\mathbf{f}_{true}\|} \times 100\% \quad (2.55)$$

โดยที่ $\|\bullet\|$ คือ นอร์ม (norm) ของเมตริกซ์

ขั้นตอนการคำนวณ

ขั้นตอนที่1 เมตริกซ์ \mathbf{Q} เมตริกซ์ \mathbf{Z} และความเร็วของแรงสามารถหาได้จากการวัดจากภาคสนาม

ขั้นตอนที่2 เมตริกซ์ $\bar{\mathbf{G}}$ และเมตริกซ์ \mathbf{G} สามารถหาได้จากข้อมูลตำแหน่งของแรงจากสมการ (2.31)

และ (2.33)

ขั้นตอนที่3 คำนวณค่าเริ่มต้น \mathbf{q}_N , \mathbf{R}_N และ \mathbf{S}_N จากสมการ (2.50) และคำนวณค่า \mathbf{H}_N จาก

สมการ (2.51)

ขั้นตอนที่4 คำนวณ \mathbf{S}_{n-1} และ \mathbf{R}_{n-1} จากสมการ (2.50) ตั้งแต่ค่า $n = N$ จนถึง $n = 1$

ขั้นตอนที่5 กำหนดค่าเริ่มต้น \mathbf{X} เท่ากับศูนย์แล้วคำนวณค่าปฏิกิริยาตอบสนอง \mathbf{X}_{j+1} จากสมการ (2.32) ตั้งแต่ค่า $j = 0$ จนถึง $j = N$ และหาแรง \mathbf{f}_{n-1} จากสมการ (2.52) ตั้งแต่ค่า $n = 1$ จนถึง $n = N$

ขั้นตอนที่6 ทำขั้นตอนที่ 1-5 ซ้ำจนได้ค่า *Error* ในสมการที่ (2.55) ที่เหมาะสม

2.2.10 เทคนิคการคำนวณซ้ำ (Iteration Technique)

เนื่องมาจากงานวิจัยในอดีตที่ผ่านมาได้มีการหาหน้าหน้าภวะเคลื่อนที่ โดยที่วิธีไดนามิคโปรแกรมมิ่ง นั้นยังมีความคลาดเคลื่อนในการคำนวณอยู่ Pattarapong (2004) ได้เสนอเทคนิคการคำนวณซ้ำ (iteration technique) มาใช้ในการเพิ่มความถูกต้องแม่นยำในการหาหน้าหน้าภวะของวิธีไดนามิคโปรแกรมมิ่ง

เทคนิคการคำนวณซ้ำ คือ การนำเอาผลของการคำนวณที่ได้จากไดนามิคโปรแกรมมิ่งมาแยก สัญญาณความเครียดเนื่องจากผลทางพลศาสตร์ออกจากสัญญาณความเครียดที่ได้จากการวัด แล้วนำ ความเครียดทางพลศาสตร์นั้นมาคำนวณในไดนามิคโปรแกรมมิ่งอีกครั้ง แล้วนำไปบวกกับแรงทางสถิตที่ ประมาณได้ เพื่อให้ค่าแรงที่หาได้ลู่เข้าหาค่าแรงที่ถูกต้องมากขึ้นจากการคำนวณครั้งแรกของไดนามิคโปรแกรมมิ่ง ซึ่งมีหลักการดังนี้

ขั้นตอนการคำนวณเทคนิคการคำนวณซ้ำ (iteration technique)

ขั้นตอนที่ 1 จากสัญญาณความเครียดที่ได้จากการวัด Z มาทำการคำนวณในโปรแกรมการหาน้ำหนัก จะได้ค่าแรงจากการคำนวณครั้งแรก \hat{P}^i และจากแรงที่หาได้ก็นำไปคำนวณย้อนกลับหาความเครียดที่ประมาณได้ \hat{Z}^i ซึ่งจะเก็บไว้เพื่อนำไปแยกผลทางพลศาสตร์ในขั้นตอนต่อไป

ขั้นตอนที่ 2 เพื่อที่จะทำการแยกผลทางพลศาสตร์จากแรงที่หาได้จะนำไปทำการเฉลี่ยเพื่อหาค่าแรงทางสถิติ \hat{P}_s^i ซึ่งการเฉลี่ยเพื่อทำการหาแรงทางสถิตินี้จะทำการเฉลี่ยแยกเพลลาอิสระต่อกันตามช่วงเวลาเพลลานั้น ๆ ว่างอยู่บนช่วงสะพาน และแรงรวมทั้งหมดทางสถิติของรถได้จากการซูเปอร์โพสิชันของแรงทางสถิติแต่ละเพลลาเข้าด้วยกัน

ขั้นตอนที่ 3 จากแรงทางสถิติที่ได้ \hat{P}_s^i จะนำไปคำนวณหาความเครียดเนื่องจากผลทางสถิติ \hat{Z}_s^i โดยมีขั้นตอนดังนี้

- i) ทำการแปลงแรงที่หาได้ให้เป็นแรงที่ซ้ำด้วยฟังก์ชันประมาณ (shape function)

$$P_s^i = Y \hat{P}_s^i \quad (2.56)$$

โดยที่ P_s^i คือ เวกเตอร์ของแรงทางสถิติที่ซ้ำ (nodal force vector)
 Y คือ เวกเตอร์ที่แปลงแรงกระทำภายนอกสู่ระบบแรงที่ซ้ำ
 \hat{P}_s^i คือ แรงภายนอกที่ไม่ทราบค่ามีมิติเท่ากับ $n, \times 1$

- ii) จากแรงที่ซ้ำ สามารถหาการเปลี่ยนตำแหน่ง u_s^i ได้โดยนำไปคูณด้วยอินเวอร์สของสติฟเนสเมตริกซ์

$$u_s^i = K^{-1} P_s^i \quad (2.57)$$

โดยที่ u_s^i คือ เวกเตอร์การเปลี่ยนตำแหน่งของแบบจำลองชิ้นส่วนคาน
 K คือ เมตริกซ์สติฟเนสของระบบ (system stiffness matrix)

- iii) สามารถหาความเครียดทางสถิติ \hat{Z}_s^i ได้จากความสัมพันธ์ของความเครียดและการเปลี่ยนตำแหน่ง

$$\hat{Z}_s^i = Q u_s^i \quad (2.58)$$

ขั้นตอนที่ 4 เมื่อได้ความเครียดทางสถิตแล้ว จะสามารถหาความเครียดทางพลศาสตร์ \hat{Z}_d^i ได้จากการนำความเครียดทางสถิตไปลบออกจากความเครียดรวมที่ได้จากการประมาณ Z^i

$$\hat{Z}_d^i = Z^i - \hat{Z}_s^i \quad (2.59)$$

ขั้นตอนที่ 5 จากความเครียดทางพลศาสตร์ที่ได้ \hat{Z}_d^i จะนำไปหาแรงทางพลศาสตร์ในรอบใหม่ \hat{P}_d^i ด้วย โปรแกรมการหาน้ำหนักอีกครั้ง

ขั้นตอนที่ 6 จากแรงทางพลศาสตร์ที่ได้ \hat{P}_d^{i+1} เมื่อนำไปรวมกับแรงทางสถิต \hat{P}_s^i จะได้เป็นแรงในรอบใหม่จากการคำนวณซ้ำ

$$\hat{P}^{i+1} = \hat{P}_s^i + \hat{P}_d^{i+1} \quad (2.60)$$

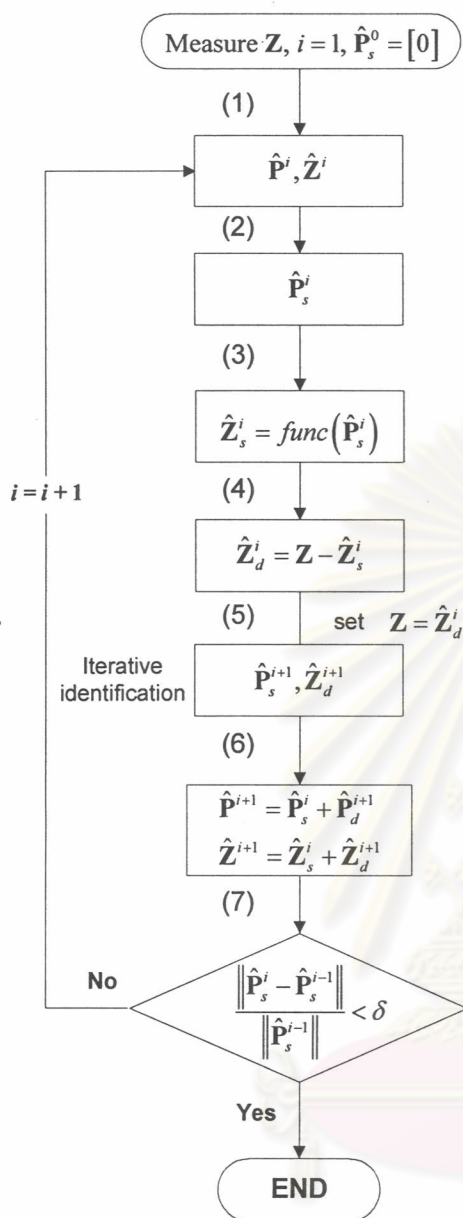
โดยค่าความเครียดทางพลศาสตร์ที่ได้จากสมการ 2.59 เมื่อนำไปรวมกับความเครียดทางสถิตจากสมการ 2.58 ก็จะได้เป็นความเครียดรวมใหม่ เพื่อนำไปใช้ในการคำนวณซ้ำรอบถัดไป

$$\hat{Z}^{i+1} = \hat{Z}_s^i + \hat{Z}_d^{i+1} \quad (2.61)$$

ขั้นตอนที่ 7 ทำการคำนวณซ้ำจนกระทั่งผลต่างของแรงที่ได้ในรอบล่าสุดกับรอบก่อนหน้า มีความแตกต่างกันน้อยมาก ซึ่งเป็นเกณฑ์ที่ได้กำหนดไว้ โดยงานวิจัยนี้กำหนดไว้ที่ไม่เกิน 1 เปอร์เซ็นต์จึงจะหยุดการคำนวณกล่าวคือ

$$\frac{\|\hat{P}_s^i - \hat{P}_s^{i-1}\|}{\|\hat{P}_s^{i-1}\|} \times 100 \% \leq 1\% \quad (2.62)$$

ศูนย์วิทยพัชการ
จุฬาลงกรณ์มหาวิทยาลัย



Steps of computation for USC technique

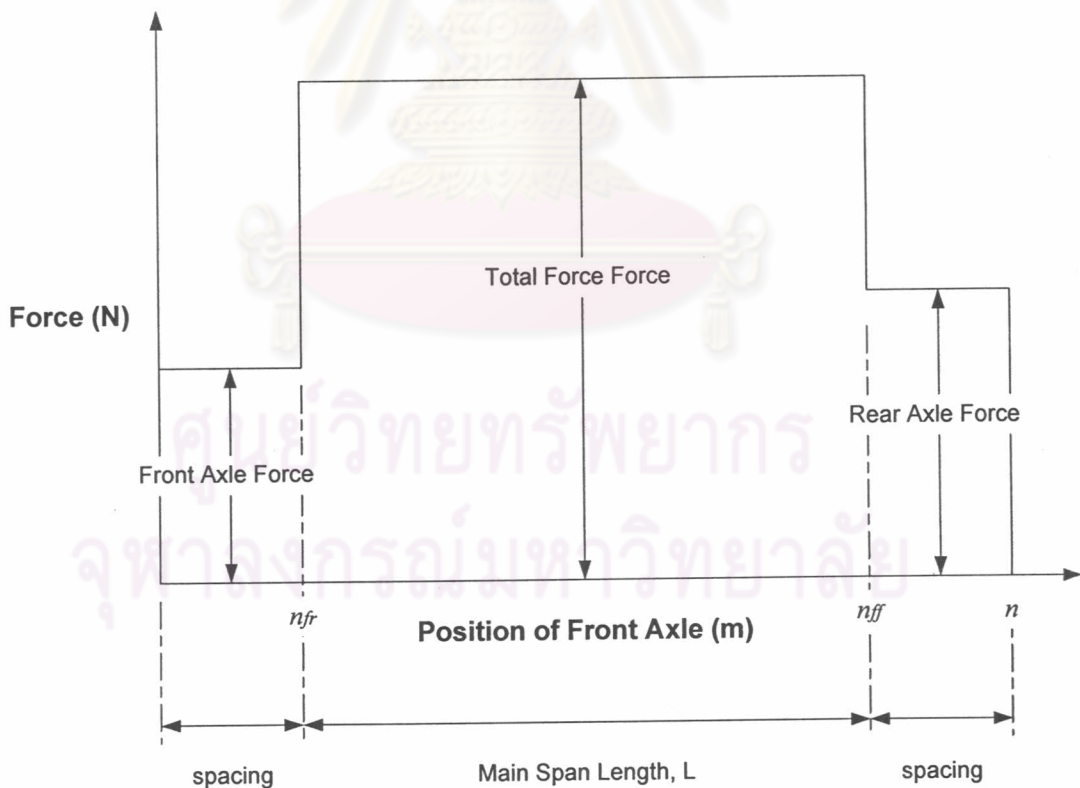
- (1) Load identification using conventional regularization
- (2) Load decomposition to obtain the static component (quasi-static) by time-averaging.
- (3) Calculate the corresponding static strain components.
- (4) Compute the dynamic strain component.
- (5) Repeat the load identification using conventional regularization (input only dynamic strain from (4)).
- (6) Update the identified result from the combination of the previous and the latest identified result.
- (7) Determine the rate of convergence of updated results. (In this paper $\delta = 1\%$.)

รูปที่ 2.5 รูปแบบขั้นตอนการคำนวณของเทคนิคการคำนวณซ้ำ (Iteration Technique: Updated Static Component)

2.2.11 การเฉลี่ยหาค่าน้ำหนักรถ

ในการหาน้ำหนักด้วยเทคนิคการคำนวณข้างต้น จะต้องทำการสร้างเส้นอินฟลูเอนซ์ไลน์จากน้ำหนักที่หาได้ และอ้างอิงเป็นค่าโมเมนต์ตัดจากผลของแรงทางสถิตและนำไปหักลบกับโมเมนต์ตัดที่เก็บวัดได้ให้เหลือผลของโมเมนต์ตัดจากแรงทางพลศาสตร์ เพื่อเข้าไปสู่การคำนวณซ้ำต่อไป ซึ่งการสร้างเส้นอินฟลูเอนซ์ไลน์นั้น จะได้จากการเฉลี่ยแรงที่หาได้ ซึ่งในการเฉลี่ยแรงที่หาได้ในแต่ละรอบนั้น จะต้องอ้างอิงกับระบบการเคลื่อนที่ของรถให้มีช่วงเวลา ตำแหน่งและจำนวนข้อมูลที่สอดคล้องกัน การหาน้ำหนักรถจึงจะได้รับความถูกต้องแม่นยำสูงสุด

ระบบการเคลื่อนที่ของรถในกรณีนี้ แบ่งออกได้เป็น 3 ช่วงด้วยกันดังรูปที่ 2.6 โดยช่วงแรกจะเป็นช่วงที่เพลาน้ำของรถบรรทุกเคลื่อนที่เข้าสู่สะพาน ซึ่งค่าความเครียดและโมเมนต์ตัดที่เกิดขึ้นในช่วงเวลานี้จะเกิดจากผลของเพลาน้ำของรถบรรทุกกระทำต่อสะพานเท่านั้น ช่วงที่สองจะเป็นช่วงที่เพลาลังของรถเคลื่อนที่เข้าสู่สะพาน เป็นช่วงที่ทั้งเพลาน้ำและเพลาลังอยู่บนสะพานทั้ง 2 เลา ซึ่งค่าความเครียดและโมเมนต์ตัดที่เกิดขึ้นในช่วงนี้จะเป็นผลของน้ำหนักรวมของรถบรรทุก และช่วงสุดท้ายจะเป็นช่วงที่เพลาน้ำของรถบรรทุกได้เคลื่อนที่ออกจากสะพานช่วงหลักไปแล้ว คงเหลือเพียงแค่น้ำหนักกระทำจากเพลาลังเท่านั้น



รูปที่ 2.6 ระบบการเคลื่อนที่ของรถบรรทุก 2 เลาบนสะพานช่วงเดียวที่มีจุดรองรับแบบข้อหมุนธรรมดา

ดังนั้นจากแรงที่หาได้ จะสามารถแยกและนำมาเฉลี่ยเป็นแรงหรือน้ำหนักทางสถิติในเพลาน้ำ เพลาลัง และน้ำหนักรวมของรถได้ดังนี้

$$\text{น้ำหนักทางสถิติของเพลาน้ำ : } \mathbf{f}_{front} = \frac{\sum_{i=1}^{n_{ff}} (\mathbf{f}_{front}^{iden})}{n_{ff}} \quad (2.63)$$

$$\text{น้ำหนักทางสถิติของเพลาลัง : } \mathbf{f}_{rear} = \frac{\sum_{i=n_{fr}}^n (\mathbf{f}_{rear}^{iden})}{(n - n_{fr})} \quad (2.64)$$

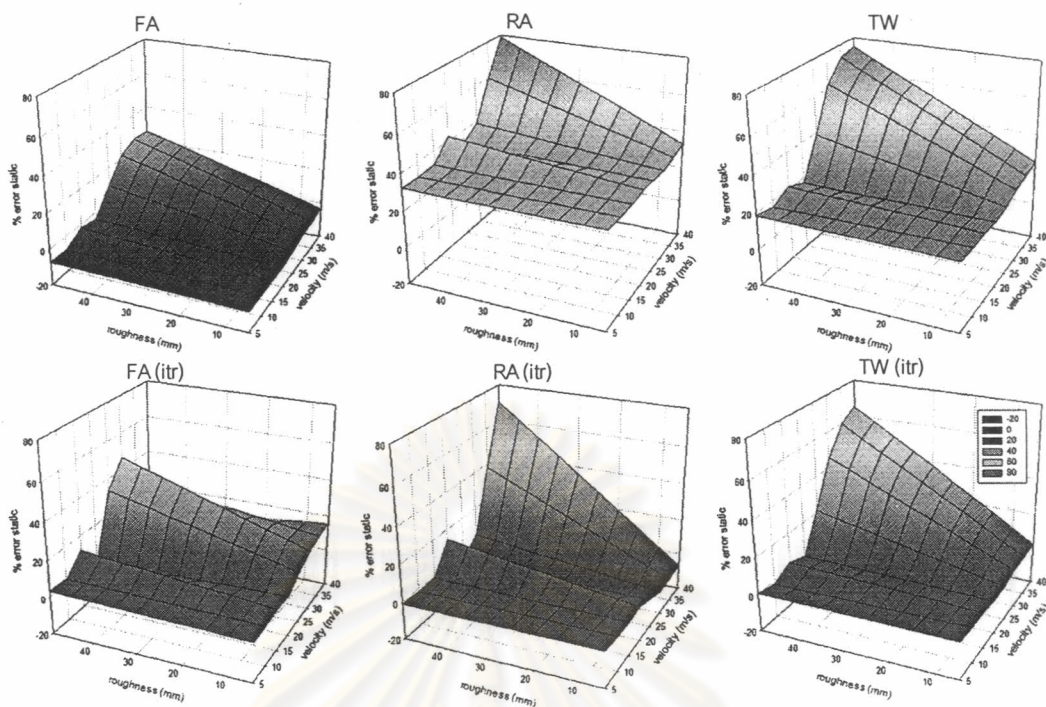
$$\text{น้ำหนักทางสถิติของน้ำหนักรวม : } \mathbf{f}_{total} = \frac{\sum_{i=n_{fr}}^{n_{ff}} (\mathbf{f}_{front}^{iden}) + \sum_{i=n_{fr}}^{n_{ff}} (\mathbf{f}_{rear}^{iden})}{(n_{ff} - n_{fr})} \quad (2.65)$$

โดยที่ n_{fr} คือตำแหน่งของข้อมูลที่เก็บวัด เมื่อเพลาน้ำของรถบรรทุกเคลื่อนที่ออกจากสะพาน
 n_{fr} คือตำแหน่งของข้อมูลที่เก็บวัด เมื่อเพลาลังของรถบรรทุกเคลื่อนที่เข้าสู่สะพาน
 n คือตำแหน่งของข้อมูลที่เก็บวัด เมื่อเพลาลังของรถบรรทุกเคลื่อนที่ออกจากสะพาน

2.3 ความถูกต้องของการหาน้ำหนักรถจากการจำลองบนคอมพิวเตอร์

สะพานที่ใช้ในการศึกษาการหาน้ำหนักรถบรรทุกโดยการจำลองบนคอมพิวเตอร์นั้น Tawat (2003) จะพิจารณาสะพานคอนกรีตเสริมเหล็ก แบบคานช่วงเดียว ซึ่งมีความยาวของสะพาน 14 เมตร สำหรับการจราจร 1 ช่องทาง ซึ่งมีความกว้าง 3 เมตร ความหนา 50 เซนติเมตร ส่วนรถบรรทุกนั้นจะทำการพิจารณาเพลาคู่หลังรวมกันเป็นเพลาดียว โดยมี ระยะห่างระหว่างเพลาลัง 4.65 เมตร โดยพิจารณาตัวแปรหลักที่มีผลต่อการทายน้ำหนักรถบรรทุกนั้น คือ ความเร็วของรถบรรทุกและความขรุขระของผิวทาง

ศูนย์วิทยทรัพยากร
จุฬาลงกรณ์มหาวิทยาลัย



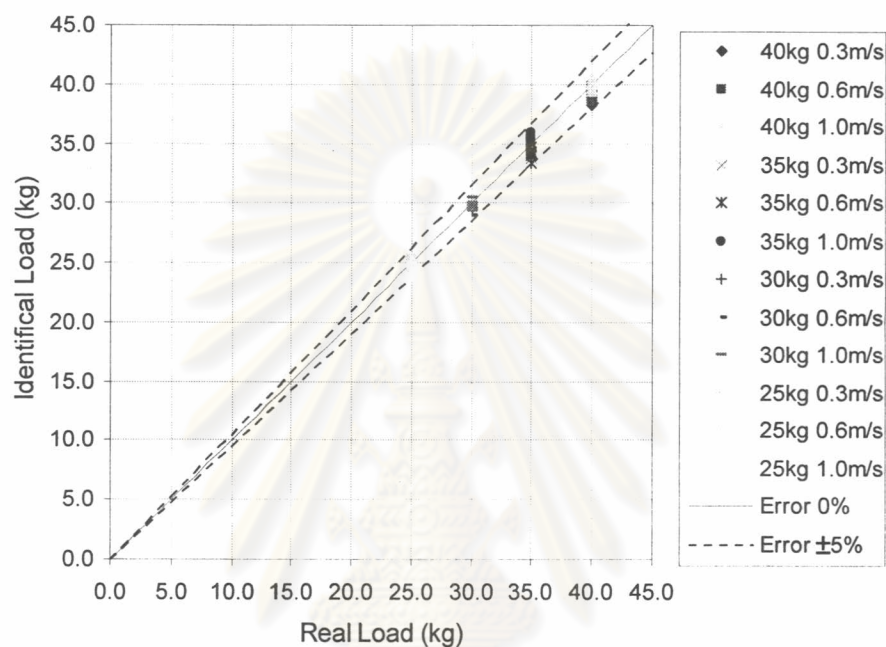
รูปที่ 2.7 ค่าความคลาดเคลื่อนของน้ำหนักทางสถิติทั้งก่อนและหลังจากผ่านการคำนวณซ้ำ

จากรูปที่ 2.7 จะเห็นได้ว่าเมื่อความเร็วของรถบรรทุกและระดับของความขรุขระของผิวทางมีค่าสูงพร้อมกันจะทำให้เกิดความคลาดเคลื่อนในการทายน้ำหนักสูงมาก ซึ่งหากนำเทคนิคการคำนวณซ้ำเข้ามาช่วยในการทายน้ำหนักก็จะทำให้ความคลาดเคลื่อนที่เกิดขึ้นนั้นน้อยลง โดยค่าความคลาดเคลื่อนทางสถิติหลังจากผ่านการคำนวณซ้ำแล้วจะมีค่าลดลงจากค่าความคลาดเคลื่อนทางสถิติก่อนการคำนวณซ้ำอยู่ในช่วง 20-30% โดยจะมีค่าความคลาดเคลื่อนหลังจากผ่านการคำนวณซ้ำเหลือเพียงแต่ที่ความเร็วของรถบรรทุกและความสูงของความขรุขระของผิวทางมีค่าสูงพร้อมกันนั้น การลดลงของค่าความคลาดเคลื่อนทางสถิติจะเหลือเพียง 5-10% อย่างไรก็ตามค่าความคลาดเคลื่อนทางสถิติของน้ำหนักเพลาน้ำหนัก พบว่าหลังจากผ่านการคำนวณซ้ำแล้วบางกรณีจะมีค่าความคลาดเคลื่อนสูงขึ้น เทคนิคการคำนวณซ้ำนั้นช่วยทายน้ำหนักให้ค่าที่ถูกต้องได้เป็นอย่างดี แต่ที่ความเร็วสูงมากๆคือ 30-40 m/s (108-144 km/hr) และความขรุขระของผิวทางสูงๆคือ 3-5 cm นั้นยังไม่สามารถลดค่าความคลาดเคลื่อนลงมาได้

ส่วนผลกระทบของอัตราส่วนของน้ำหนักเพลาน้ำหนักต่อเพลาลังและค่าสถิติเนสของสปริงที่เพลาน้ำหนักของรถบรรทุกนั้นจากผลการศึกษาของ Tawat (2003) ก็สามารถสรุปได้ว่าไม่ส่งผลกระทบต่อการทายน้ำหนัก

2.4 ความถูกต้องของการน้ำหนักบรรทุกจากการทดสอบด้วยแบบจำลองย่อส่วน

Tawat (2003) ทำการทายน้ำหนักบรรทุกทุกจากแบบจำลองย่อส่วน โดยที่น้ำหนักรวมของรถบรรทุกอยู่ในช่วงระหว่าง 25.00-40.00 kg ซึ่งแบ่งเป็นอัตราส่วนน้ำหนักเพลาน้ำต่อเพลาลัง 4 อัตราส่วน โดยในแต่ละอัตราส่วนดังกล่าวได้ทำการทดสอบที่ระดับความเร็วต่างกัน 3 ระดับ ได้แก่ 0.3 0.6 และ 1.0 m/s



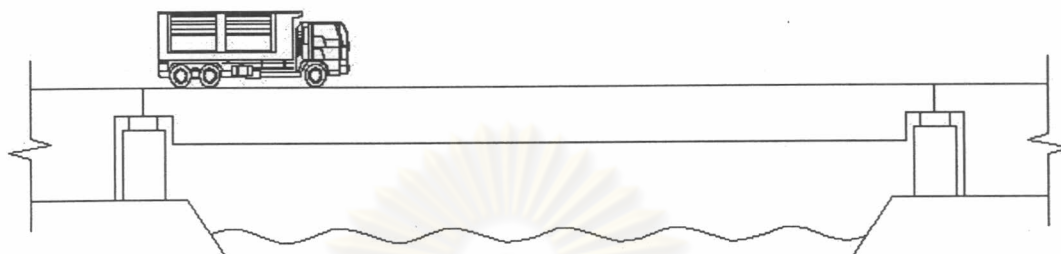
รูปที่ 2.8 ค่าน้ำหนักรวมของรถบรรทุกหาได้เทียบกับน้ำหนักรวมของรถบรรทุกจริง

จากค่าความคลาดเคลื่อนของน้ำหนักเพลาน้ำ, เพลาลัง และน้ำหนักรวมรถบรรทุก นำมาหาค่าเฉลี่ย และค่าเบี่ยงเบนมาตรฐาน (standard deviation :SD) จะได้ค่าเฉลี่ยของความคลาดเคลื่อนของน้ำหนักรวมรถบรรทุก, เพลาลัง และเพลาน้ำสูงสุดเท่ากับ -1.45%, -5.06% และ 6.19% ส่วนค่าเบี่ยงเบนมาตรฐานของความคลาดเคลื่อนของน้ำหนักรวมรถบรรทุก, เพลาลัง และเพลาน้ำสูงสุดเท่ากับ 1.48%, 3.51% และ 11.31% ตามลำดับ

ในหลักการของสถิติศาสตร์ ถ้าสมมุติให้ข้อมูลมีการกระจายตัวของข้อมูลเป็นแบบการกระจายตัวแบบปกติ (normal distribution) ก็จะสามารถหาความน่าจะเป็นของค่าความคลาดเคลื่อนของน้ำหนักได้ ซึ่งจะมีโอกาสถึง 90% ที่จะหาน้ำหนักรวมรถบรรทุก, น้ำหนักเพลาลัง และน้ำหนักเพลาน้ำได้คลาดเคลื่อนไม่เกิน ± 3.35 , ± 9.95 และ ± 21.12 และมีโอกาสถึง 99% ที่จะหาน้ำหนักรวมรถบรรทุก, น้ำหนักเพลาลัง และน้ำหนักเพลาน้ำได้คลาดเคลื่อนไม่เกิน ± 4.9 , ± 13.24 และ ± 32.6 และจากมาตรฐานของ ASTM E1318-94 โดยจะใช้แยกประเภทของระบบ weight in motion (WIM) ซึ่งจากการทดสอบเมื่อพิจารณาที่ความน่าจะเป็น 95% ก็จะได้

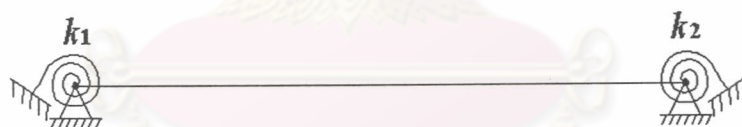
เปอร์เซ็นต์ความคลาดเคลื่อนของน้ำหนักรวมรถบรรทุก, น้ำหนักเพลาลัง และน้ำหนักเพลาน้ำไม่เกิน $\pm 3.89\%$, $\pm 10.85\%$ และ $\pm 25.08\%$ ซึ่งใกล้เคียงกับประเภทที่ 3 ของ ASTM

2.5 การนำน้ำหนักรถขณะเคลื่อนที่บนสะพานแบบต่อเนื่อง



รูปที่ 2.9 ลักษณะสะพานแบบช่วงเดียว

ลักษณะเงื่อนไขบริเวณจุดรองรับของสะพานแบบช่วงเดียวนั้น สติฟเนสของจุดรองรับจะมีค่าระหว่าง สติฟเนสของจุดรองรับแบบข้อหมุน (hinge support) กับสติฟเนสของจุดรองรับแบบยึดแน่น (fixed support) และค่าสติฟเนสที่ปลายสะพานทั้งสองข้างอาจมีค่าไม่เท่ากัน ดังนั้นเราจะจำลองสะพานด้วยแบบจำลองของ คานที่มีจุดรองรับแบบข้อหมุนสปริง (rotational spring) ซึ่งมีค่าสติฟเนสของการหมุน (rotational stiffness) ที่ ปลายด้านซ้ายและขวาเท่ากับ k_1 และ k_2 ตามลำดับ ซึ่งแทนที่ค่าสติฟเนสที่ปลายของสะพาน ดังรูปที่ 2.10



รูปที่ 2.10 แบบจำลองคานสำหรับสะพานช่วงเดียว

จากแบบจำลองคานในรูปที่ 2.10 เมื่อทำการปรับเทียบ (calibrate) เพื่อหาค่า k_1 และ k_2 ได้แล้ว ก็จะสามารถวิเคราะห์หิ่ชิ้นส่วนคานตามทฤษฎีไฟไนต์เอลิเมนต์และนำไปใช้น้ำหนักรถได้ตามปกติ โดยหลักการในการปรับเทียบจะได้อธิบายในบทที่ 5

2.5.1 สติฟเนสเมตริกซ์ของแบบจำลองสะพานที่ทำการปรับแก้สภาพจุดรองรับ

จากการสร้างแบบจำลองสะพานด้วยชิ้นส่วนคานที่มีจุดรองรับแบบข้อหมุนสปริง ซึ่งมีค่าสติฟเนสที่ ปลายทั้งสองข้าง การวิเคราะห์หิ่ชิ้นส่วนคานนี้จะทำการปรับแก้สติฟเนสเมตริกซ์ $[K]$ ของโครงสร้างที่จะนำไป แทนค่าในสมการการเคลื่อนที่

จากสติเฟเนสมเมตริกซ์ของชิ้นส่วนคานของออยเลอร์-เบอร์นูลลี ดังสมการที่ 2.14

$$\mathbf{K}^e = \frac{E_e I_e}{l_e^3} \begin{bmatrix} 12 & 6l_e & -12 & 6l_e \\ 6l_e & 4l_e^2 & -6l_e & 2l_e^2 \\ -12 & -6l_e & 12 & -6l_e \\ 6l_e & 2l_e^2 & -6l_e & 4l_e^2 \end{bmatrix} \quad (2.66)$$

ในการคิดผลของจตุรกรรับแบบข้อหมุนสปริง เราจะให้ชิ้นส่วนสปริงเป็นเอลิเมนต์ที่รับแรงกระทำที่หัว ด้วยแรงกระทำแบบโมเมนต์ตัดเท่านั้น ซึ่งจะมีค่าสติเฟเนสที่ปลายเท่ากับ k_1 หรือ k_2 ดังนั้นหากชิ้นส่วนคานที่มีจตุรกรรับข้างหนึ่งเป็นข้อหมุนสปริงดังรูปที่ 2.11 จะได้สติเฟเนสมเมตริกซ์ของชิ้นส่วนคานชิ้นนี้ดังนี้



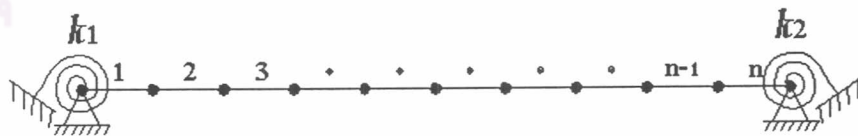
รูปที่ 2.11 ชิ้นส่วนคานที่มีจตุรกรรับข้างหนึ่งเป็นข้อหมุนสปริง

ชิ้นส่วนคานด้านซ้าย

$$\mathbf{K}^1 = \frac{E_1 I_1}{l_1^3} \begin{bmatrix} 12 & 6l_1 & -12 & 6l_1 \\ 6l_1 & \left(4l_1^2 + \frac{k_1 l_1^3}{E_1 I_1} \right) & -6l_1 & 2l_1^2 \\ -12 & -6l_1 & 12 & -6l_1 \\ 6l_1 & 2l_1^2 & -6l_1 & 4l_1^2 \end{bmatrix} \quad (2.67)$$

ชิ้นส่วนคานด้านขวา

$$\mathbf{K}^2 = \frac{E_2 I_2}{l_2^3} \begin{bmatrix} 12 & 6l_2 & -12 & 6l_2 \\ 6l_2 & 4l_2^2 & -6l_2 & 2l_2^2 \\ -12 & -6l_2 & 12 & -6l_2 \\ 6l_2 & 2l_2^2 & -6l_2 & \left(4l_2^2 + \frac{k_2 l_2^3}{E_2 I_2} \right) \end{bmatrix} \quad (2.68)$$



รูปที่ 2.12 รูปแบบการแบ่งเอลิเมนต์ของแบบจำลองสะพาน

จากวิธีไฟไนต์เอลิเมนต์ หากเราจำลองสะพานด้วยการแบ่งชิ้นส่วนคานออกเป็นจำนวน n เอลิเมนต์ดังรูปที่ 2.12 มีคุณสมบัติของหน้าตัดและวัสดุ คือค่าโมดูลัสความยืดหยุ่น (E) และค่าโมเมนต์ความเฉื่อยของ

สะพาน (I) เช่นเดียวกัน และแบ่งความยาวช่วงแต่ละเอลิเมนต์เท่า ๆ กัน (l) โดยให้ชิ้นส่วนปลายด้านซ้ายสุด และขวาสุดเป็นชิ้นส่วนที่ 1 และชิ้นส่วนที่ n ตามลำดับ จะได้สติฟเนสเมตริกซ์ของชิ้นส่วนแรกและชิ้นส่วนสุดท้ายดังนี้

$$\text{เอลิเมนต์แรก} \quad \mathbf{K}^1 = \frac{EI}{l^3} \begin{bmatrix} 12 & 6l & -12 & 6l \\ 6l & \left(4l^2 + \frac{k_1 l^3}{EI}\right) & -6l & 2l^2 \\ -12 & -6l & 12 & -6l \\ 6l & 2l^2 & -6l & 4l^2 \end{bmatrix}_{4 \times 4} \quad (2.69)$$

$$\text{เอลิเมนต์สุดท้าย} \quad \mathbf{K}^n = \frac{EI}{l^3} \begin{bmatrix} 12 & 6l & -12 & 6l \\ 6l & 4l^2 & -6l & 2l^2 \\ -12 & -6l & 12 & -6l \\ 6l & 2l^2 & -6l & \left(4l^2 + \frac{k_2 l^3}{EI}\right) \end{bmatrix}_{4 \times 4} \quad (2.70)$$

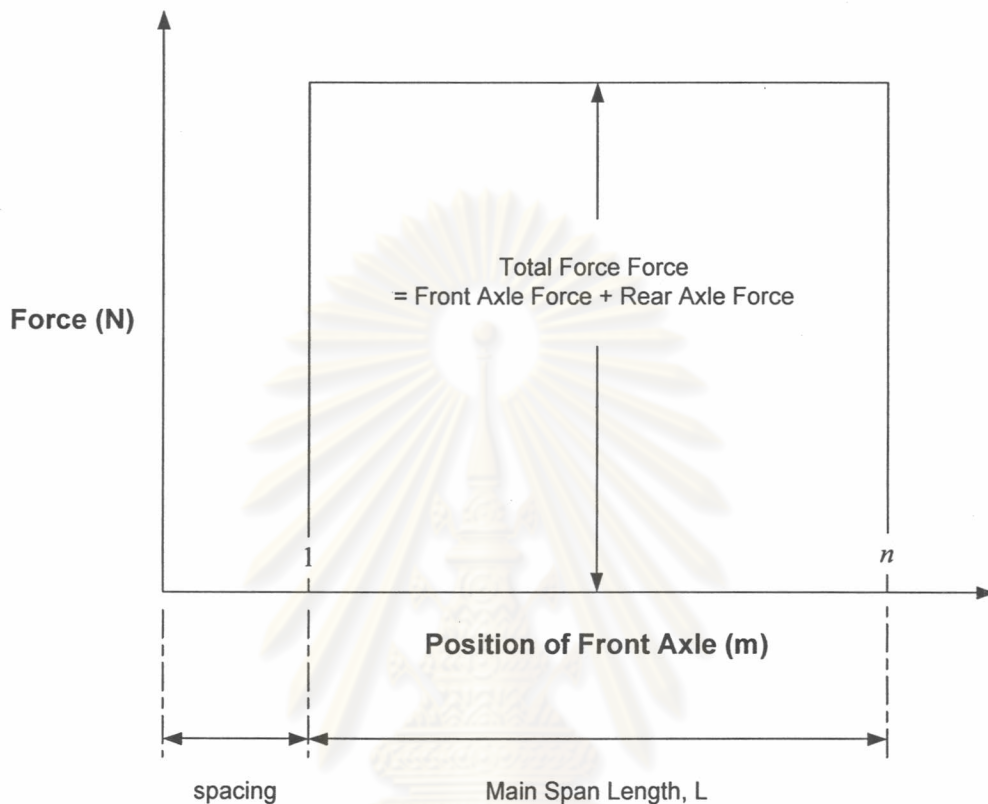
ดังนั้นเราจะสามารถสร้างสติฟเนสเมตริกซ์รวมของโครงสร้างสะพานได้จากการรวม (assembly) สติฟเนสเมตริกซ์ของแต่ละเอลิเมนต์เข้าด้วยกัน โดยที่เอลิเมนต์แรกจะมีสติฟเนสเมตริกซ์ดังสมการที่ 2.69 เอลิเมนต์สุดท้ายดังสมการที่ 2.70 และเอลิเมนต์ที่เหลือในช่วงกลางก็ใช้สติฟเนสเมตริกซ์ของออยเลอร์-เบอร์นูลลีตามปกติ และนำสติฟเนสเมตริกซ์ทุก ๆ เอลิเมนต์มารวมกันตามหลักสติฟเนสโดยตรง (direct stiffness) ก็จะได้สติฟเนส เมตริกซ์รวม โดยที่สติฟเนสเมตริกซ์รวมของทุก ๆ n เอลิเมนต์ที่ได้ จะเป็นเมตริกซ์ที่มีมิติเท่ากับ $(2n+2) \times (2n+2)$ ดังนี้

$$[\mathbf{K}] = \begin{bmatrix} \mathbf{K}^1 & & & \\ & \mathbf{K}^2 & & \\ & & \ddots & \\ & & & \mathbf{K}^n \end{bmatrix}_{(2n+2) \times (2n+2)} \quad (2.71)$$

โดยที่สติฟเนสเมตริกซ์รวมที่ได้ ก็จะนำไปแทนค่าในสมการการเคลื่อนที่ในสมการที่ 2.15 และนำไปสู่ขั้นตอนการหาน้ำหนักตามปกติ

สำหรับระบบการเคลื่อนที่ในกรณีนี้ จะแตกต่างกับในกรณีที่เคลื่อนที่บนสะพานช่วงเดียวแบบธรรมดา เนื่องจากในการจำลองคานต่อเนื่อง ด้วยการใช้คานช่วงเดียวที่มีจุดรองรับแบบข้อหมุนสปริงในการวิเคราะห์นั้น จะใช้ได้ไม่ว่ากรณีใดที่แรงกระทำบนชิ้นส่วนคานกระทำอยู่ในช่วงคานหลักเท่านั้น ดังนั้นในการหาน้ำหนักสำหรับกรณีนี้ จะวิเคราะห์ระบบการเคลื่อนที่ของรถเมื่อเพลารถทุกเพลาคือเคลื่อนที่อยู่บนช่วงสะพานหลักเท่านั้น ดังแสดงในรูปที่ 2.13 ซึ่งการวิเคราะห์ระบบการเคลื่อนที่ในลักษณะนี้นั้นจะต้องทำการพิจารณาผลของค่าเริ่มต้นของผลตอบสนองของสะพาน (เวกเตอร์ \mathbf{X}) ที่แตกต่างกับกรณีรถเคลื่อนที่บนสะพานช่วงเดียวแบบธรรมดา เพราะ

ของผลตอบสนองของสะพานที่จะนำไปใช้ในขั้นตอนการหาน้ำหนักนั้น ไม่ได้เริ่มต้นด้วยจากสภาพหยุดนิ่ง เนื่องจากสะพานจะเริ่มมีการสั่นไหวตั้งแต่ที่รถได้เคลื่อนที่เข้าสู่สะพานช่วงนอกก่อนแล้ว ทำให้ต้องทำการพิจารณาผลของค่าเริ่มต้นของผลตอบสนองของสะพาน (เวกเตอร์ \mathbf{X}) ก่อนที่จะนำไปเข้าสู่ขั้นตอนการหาน้ำหนัก



รูปที่ 2.13 ระบบการเคลื่อนที่ของรถบรรทุก 2 เพลาบนสะพานต่อเนื่อง

ดังนั้นจากแรงที่หาได้ จะสามารถแยกและนำมาเฉลี่ยเป็นแรงทางสถิติในเพลาน้ำ เพลาลัง และแรงจากรน้ำหนักรวมของรถได้ดังนี้

$$\text{แรงทางสถิติของเพลาน้ำ : } \mathbf{f}_{front} = \frac{\sum_{i=1}^n (\mathbf{f}_{front}^{iden})}{n} \quad (2.72)$$

$$\text{แรงทางสถิติของเพลาลัง : } \mathbf{f}_{rear} = \frac{\sum_{i=1}^n (\mathbf{f}_{rear}^{iden})}{n} \quad (2.73)$$

$$\text{แรงทางสถิติของน้ำหนักรวม : } \mathbf{f}_{total} = \frac{\sum_{i=n_{fr}}^{n_{ff}} (\mathbf{f}_{front}^{iden}) + \sum_{i=n_{fr}}^{n_{ff}} (\mathbf{f}_{rear}^{iden})}{(n_{ff} - n_{fr})} \quad (2.74)$$

โดยที่ n คือตำแหน่งของข้อมูลที่เก็บวัด เมื่อเพลาน้ำของรถบรรทุกเคลื่อนที่ออกจากสะพาน